

**Research Article**

## **Study of noise effects on rabbit's hearing status using distortion product otoacoustic emissions**

**Seyyed Ali Moussavi-Najarkola<sup>1</sup>, Ali Khavanin<sup>1</sup>, Ramezan Mirzaee<sup>2</sup>, Mojdeh Salehnia<sup>3</sup>, Mehdi Akbari<sup>4</sup>, Hassan Asilian<sup>1</sup>**

<sup>1</sup>- Department of Occupational Health, School of Medical Sciences, Tarbiat Modarres University, Tehran, Iran

<sup>2</sup>- Department of Occupational Health, Center of Health Promotion, Zahedan University of Medical Sciences, Iran

<sup>3</sup>- Department of Anatomical Sciences, School of Medical Sciences, Tarbiat Modarres University, Tehran, Iran

<sup>4</sup>- Department of Audiology, Faculty of Rehabilitation, Tehran University of Medical Sciences, Iran

Received: 13 December 2010, accepted: 16 August 2011

### **Abstract**

**Background and Aim:** Noise-induced hearing loss is the most common problem in industrial areas. This study aimed to determine effects of excessive noise exposure on measurable characteristics of distortion product otoacoustic emissions (DPOAEs) in rabbits.

**Methods:** The study was carried out on 12 adult male New Zealand White rabbits including case group - exposed to 500-8000 Hz broadband white noise with 100 dBA SPL for 8 hours per day in 5 consecutive days - and control group. After three days period of acclimatization to the experimental condition, rabbits' hearing status in each group were measured by distortion product otoacoustic emissions on days zero means before the study was initiated as a baseline, eight, one hour after the latest exposure to noise, and ten. The recorded results were analyzed using SPSS software.

**Results:** Highest mean distortion product otoacoustic emissions amplitudes in case group were allocated to frequencies of 5888.50 Hz, 8166.50 Hz, 9855.00 Hz, 3956.00 Hz, and 3098.50 Hz, respectively. However, the lowest mean distortion product otoacoustic emissions amplitude was related to frequency of 588.00 Hz ( $p=0.001$ ).

**Conclusion:** This study revealed that distortion product otoacoustic emissions amplitude shifts due to noise occur first in high and then in middle frequencies. Additionally, exposure to noise can decrease distortion product otoacoustic emissions amplitudes. We conclude that distortion product otoacoustic emissions can be a reliable test for estimating personal susceptibility to noise-induced hearing loss.

**Keywords:** White noise, hearing loss, distortion product otoacoustic emissions

## مقاله پژوهشی

# بررسی تأثیر نویز بر شنوایی خرگوش با استفاده از گسیل‌های صوتی حاصل اعوجاج‌گوش

سید علی موسوی نجارکلا<sup>۱</sup>، علی خوانین<sup>۱</sup>، رمضان میرزائی<sup>۲</sup>، مژده صالح‌نیا<sup>۳</sup>، مهدی اکبری<sup>۴</sup>، حسن اصیلیان<sup>۱</sup>

<sup>۱</sup>- گروه بهداشت حرفه‌ای، دانشکده علوم پزشکی، دانشگاه تربیت مدرس، تهران، ایران

<sup>۲</sup>- گروه بهداشت حرفه‌ای، مرکز ارتقاء سلامت، دانشگاه علوم پزشکی زاهدان، ایران

<sup>۳</sup>- گروه علوم تشریح، دانشکده علوم پزشکی، دانشگاه تربیت مدرس، تهران، ایران

<sup>۴</sup>- گروه شنوایی‌شناسی، دانشکده توانبخشی، دانشگاه علوم پزشکی تهران، ایران

## چکیده

**زمینه و هدف:** کم‌شنوایی ناشی از نویز، شایع‌ترین بیماری شغلی در بسیاری از صنایع است. هدف مطالعه حاضر، تعیین تأثیر مواجهه با نویز شدید بر مشخصه‌های قابل اندازه‌گیری گسیل‌های صوتی حاصل اعوجاج‌گوش در خرگوش بود.

**روش بررسی:** تحقیق حاضر روی ۱۲ خرگوش نر سفید سالن بالغ نیوزبلندی در دو گروه شاهد، بدون مواجهه با نویز، و گروه مورد، در معرض نویز سفید با پهنهای باند ۵۰۰-۸۰۰ هرتز و با سطح فشار صوتی ۱۰۰ دسی‌بل A به مدت هشت ساعت در روز طی پنج روز متولی، انجام شد. تعییرات شنوایی حیوانات با آزمون گسیل‌های صوتی حاصل اعوجاج‌گوش در روزهای صفر (قبل از مواجهه)، هشتم (یک ساعت پس از آخرین مواجهه)، و دهم (۴۸ ساعت پس از آخرین مواجهه) سنجش و نتایج مقایسه شدند.

**یافته‌ها:** بیشترین میانگین دامنه گسیل‌های صوتی در گروه در معرض نویز در روزهای هشتم و دهم، به ترتیب مربوط به فرکانس‌های ۵/۸۸۸، ۵/۸۵۵، ۵/۸۵۵، ۳/۹۵۵، و ۳۰/۹۸/۵ هرتز و کمترین مقدار آن مربوط به فرکانس ۵۸۸ هرتز بود ( $p=0.001$ ).

**نتیجه‌گیری:** تعییرات دامنه پاسخ آزمون گسیل‌های صوتی حاصل اعوجاج‌گوش ناشی از مواجهه با نویز، ابتدا در فرکانس‌های بالا و سپس در فرکانس‌های میانه رخ می‌دهد. همچنین مواجهه با نویز شدید می‌تواند سبب کاهش در دامنه این گسیل‌ها شود. بنابراین می‌توان نتیجه گرفت آزمون گسیل‌های صوتی حاصل اعوجاج‌گوش، آزمون معتری برای ردیابی استعداد فردی به کم‌شنوایی ناشی از نویز باشد.

**واژگان کلیدی:** نویز سفید، کم‌شنوایی، گسیل‌های صوتی حاصل اعوجاج‌گوش

(دریافت مقاله: ۹۰/۵/۲۵، پذیرش: ۸۹/۹/۲۲)

## مقدمه

دستگاه شنوایی تلقی می‌شود<sup>(۱)</sup>. دستگاه شنوایی در زمینه تعیین اثر نویز بر کم‌شنوایی و مطالعات فراوانی در زمینه تعیین اثر نویز بر کم‌شنوایی نویز مکانیسم‌های محتمل دخیل در بروز آن با رویکرد صنعتی و با بهره‌گیری از آزمون‌های ادیومتری تن خالص انجام شده است، اما از آنجایی که این آزمون‌ها دارای محدودیت‌هایی، همچون نیاز به همکاری آزمایش‌شونده، غیرعینی بودن، حساسیت پایین در

نویز مخاطره‌آمیزترین آلینده شغلی در صنایع کشورهای توسعه‌یافته و در حال توسعه صنعتی محسوب می‌شود. کم‌شنوایی ناشی از نویز شایع‌ترین کم‌شنوایی شغلی در صنایع مختلف، و بعد از کم‌شنوایی مرتبط با سن (پیرگوش)، دومین شکل رایج کم‌شنوایی است. با افزایش پیچیدگی جوامع صنعتی، مواجهه با عوامل فیزیکی و شیمیایی در محیط کار، یک تهدید جدی برای

محرك تُن خالص نابرابر ( $L_1$  و  $L_2$ ) یا برابر با شدت‌های پایین، کم، متوسط یا بالا، و بررسی استفاده از نسبت دامنه DP به نویز به جای دامنه DPOAEs پرداخته‌اند<sup>(۱)</sup>. در هیچ‌یک از مطالعات مشابه، آزمایش‌های حیوانی را از منظر شبیه‌سازی شرایط آزمایشگاهی با شرایط واقعی محیط کار در صنعت که نتایج آن قابل تعیین به انسان باشد، انجام نشده است. البته چند تفاوت DPOAEs گونه‌ای قابل توجه بین مشخصه‌های پارامتریک انسان با خرگوش و سایر جوندگان وجود دارد که هنگام مقایسه نتایج باید در نظر گرفته شود<sup>(۱)</sup>. اول این که مقادیر دامنه DPOAEs در خرگوش و سایر جوندگان، بسیار بیشتر از انسانها یا میمون‌هاست<sup>(۱)</sup>. طبق نظر Lonsbury-Martin و همکاران<sup>(۲)</sup>، دامنة DPOAEs در کلیه گوش‌های هنجار انسان‌ها اساساً کوچک و در حدود ۵-۱۰ دسی‌بل SPL، یعنی حدود ۶۵-۵۵ دسی‌بل کمتر از شدت تُن‌های محرک ثبت می‌شود<sup>(۶)</sup>. در مقایسه، DPOAEs حاصل از  $2f_1-f_2$  در خرگوش و سایر جوندگان، به‌طور قابل ملاحظه‌ای بزرگ‌تر از انسان‌ها و میمون‌ها، با تفاوت حدود ۲۵-۳۰ دسی‌بل برای محرک‌های با شدت متوسط در فرکانس‌های موجود در محدوده بهترین حساسیت شنوایی DPOAEs مربوط به هرگونه است<sup>(۶)</sup>. دومین تفاوت بین خرگوش و سایر جوندگان با DPOAEs انسان، شکل برخی از توابع آن است<sup>(۳)</sup>. تفاوت سوم، نسبت ایدهآل  $f_2/f_1$  است که مطابق مطالعه Harris و همکاران<sup>(۴)</sup>، این نسبت برای انسان حدود ۱/۲۲ و برای پستانداران آزمایشگاهی معمول نظری رَت، خوکچه هندی، و موش صحرایی طبق مطالعه Brown<sup>(۵)</sup>، و برای خرگوش طبق مطالعه Martin و همکاران<sup>(۶)</sup>، و نیز برای موش خانگی طبق مطالعه Jimenez و همکاران<sup>(۷)</sup>، این نسبت حدود ۱/۲۵ است<sup>(۷)</sup>.

مطالعه حاضر با هدف تعیین تأثیر مواجهه با نویز شدید روی مشخصه‌های قابل اندازه‌گیری DPOAEs در مدل حیوانی انجام شد.

### روش بررسی

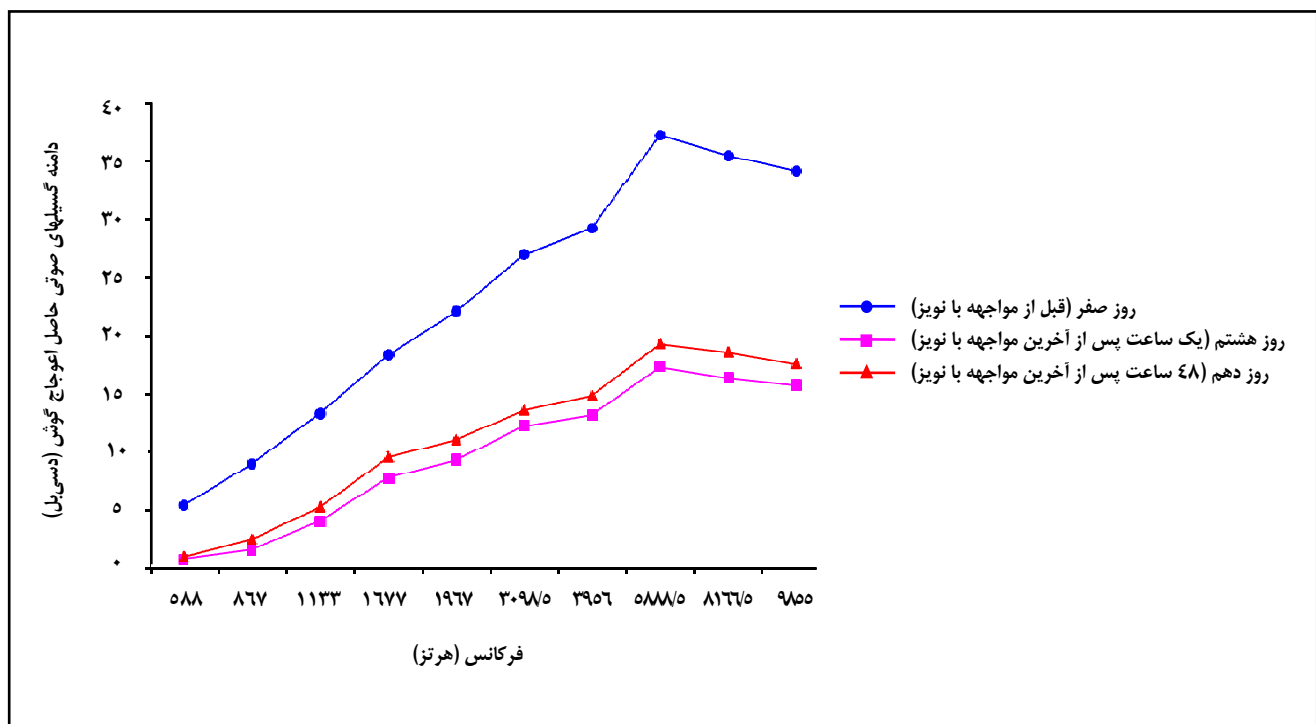
تشخیص ضایعه و عدم ارائه دقیق تغییرات جزئی ناشی از قرارگیری در معرض نویز هستند، آزمون دقیق‌تری برای این منظور لازم است<sup>(۱)</sup>. طبق نظر Nagy و همکاران<sup>(۸)</sup> و نیز Kiss و همکاران<sup>(۹)</sup>، گسیلهای صوتی حاصل اعوجاج گوش (Distortion Product Otoacoustic Emissions: DPOAEs) به عنوان آزمونی معتبر، که عملکرد سلول‌های مویی خارجی را منعکس می‌نمایند، برای ارزیابی تغییرات حلزون گوش داخلی پس از مواجهه با نویز بسیار مفیدند<sup>(۲) و (۳)</sup>.

مطالعات زیادی درباره تعیین اثر نویز بر مشخصه‌های قابل اندازه‌گیری DPOAEs در انسان، با رویکرد بالینی و نه رویکرد صنعتی، صورت گرفته است. اما از آنجایی که کنترل شرایط محیطی موجود در صنعت در کارهای مطالعاتی روی انسانی بسیار دشوار است، برای تحت کنترل در آوردن شرایط چاره‌ای جز انجام کار مطالعاتی حیوانی با شبیه‌سازی شرایط آزمایشگاهی مشابه با شرایط واقعی نیست، تا توان نتایج حاصل از این مطالعات را به شرایط واقعی موجود در صنعت، البته با در نظر داشتن تفاوت‌های مربوط به محدوده شنوایی وسیع‌تر سایر پستانداران نسبت به انسان، تعیین داد<sup>(۱)</sup>.

از جمله مطالعات صورت گرفته در زمینه اندازه‌گیری مشخصه‌های DPOAEs در انواع مختلفی از حیوانات آزمایشگاهی از گونه‌های پستانداران، می‌توان به مطالعه Martin و همکاران<sup>(۱۹۸۸)</sup> (روی میمون‌ها<sup>(۴)</sup>)، Kim<sup>(۱۹۸۰)</sup> (روی گربه‌ها<sup>(۵)</sup>، Lonsbury-Martin و همکاران<sup>(۱۹۸۸)</sup> (روی خرگوش‌ها<sup>(۶)</sup>، Jimenez و همکاران<sup>(۱۹۹۹)</sup> (روی موش<sup>(۷)</sup>، و Harding و همکاران<sup>(۱۹۹۰)</sup> (روی چین‌چیلا)<sup>(۸)</sup>، Brown و همکاران<sup>(۱۹۹۰)</sup> (روی چین‌چیلا)<sup>(۸)</sup>، و Soliman و همکاران<sup>(۲۰۰۳)</sup> (روی خوکچه هندی<sup>(۹)</sup>، و Kemp و Henley و همکاران<sup>(۱۹۹۰)</sup> (روی رَت)<sup>(۱۱)</sup>، و Brown و Kemp<sup>(۱۲)</sup> (اشاره کرد. کلیه این مطالعات با رویکرد تخمین دقیق کم‌شنوایی ناشی از نویز به بررسی تغییرات دامنة DPOAEs با تراز نویز زمینه، نسبت سیگنال به نویز قابل قبول، استفاده از  $2f_1-f_2$  به جای  $2f_2-f_1$ ، تحقیق تأثیر ارائه دو

یک اتاقک از جنس طلق پلی کربنات و به ابعاد  $70 \times 70 \times 50$  سانتی متر انجام شد. دقت شد انتخاب جنس و ابعاد اتاقک به گونه‌ای باشد که شرایط بازآوا در درون آن ایجاد شود، به طوری که میزان نویز در تمام نقاط اتاقک یکسان و در نتیجه میزان نویز دریافتی حیوانات در تمام نقاط اتاقک یکسان باشد. خرگوش‌های گروه مورد در درون این اتاقک‌ها در معرض نویز سفید با پهنای باند  $500-8000$  هرتز (ترکیب پنج نویز اکتاو باند با مرکزیت  $500$ ،  $1000$ ،  $2000$ ،  $4000$  و  $8000$  هرتز) و با توزیع انرژی برابر و سطح فشار صوتی  $100$  دسی‌بل و با انحراف معیار دو دسی‌بل به مدت هشت ساعت در روز و به میزان پنج روز متوالی (و در مجموع  $40$  ساعت) قرار داشتند. نویز با استفاده از نرم‌افزار Signal، با ترکیب فرکانسی معین و توزیع انرژی برابر در مراکز فرکانسی اکتاو باند تولید و با استفاده از نرم‌افزار Cool Edit Pro. نسخه ۲.۱ ساخت شرکت Syntrillium Software Corporation سال  $1999$  روی کامپیوتر اجرا گردید. نویز تولید شده از طریق یک آمپلی فایر مدل ES-2000s ساخت شرکت ES Audio Industrial Co. Taiwan که قبل از بلندگو قرار گرفته بود، تقویت شده و سپس با استفاده از یک جفت بلندگوی نوع Micro lab M-563 Subwoofer مدل SLM (Sound Level Meter: CEL-490) ساخت اتاقک بهوسیله دستگاه صداسنج (SLM) نوع دقیق مجهز به تجزیه‌گر مدل  $55$  سانتی متر پایین‌تر از سطح یک جفت سوراخ‌هایی که در هریک از چهار ضلع مربع سقف اتاقک قرار گرفته بودند، در داخل اتاقک مواجهه پخش شد. پایش میزان فشار صوت و فرکانس نویز در طول مدت مواجهه به صورت مرتب در داخل اتاقک بهوسیله دستگاه صداسنج (Sound Level Meter: CEL-490) ساخت انگلستان انجام گرفت. میکروفون دستگاه صداسنج از طریق یک جفت سوراخ‌هایی که در نقطه‌ای واقع در  $15$  سانتی متر بالاتر از کف اتاقک و نیز  $55$  سانتی متر پایین‌تر از سطح یک جفت بلندگوهای نصب شده در سقف اتاقک) تعییه شده بود. میزان مواجهه با نویز در طول مدت مواجهه به صورت مرتب هر  $30$  دقیقه پایش می‌شد و در صورت نیاز از طریق نرم‌افزار مربوط، میزان نویز تولید و رها شده در داخل اتاقک تنظیم می‌گردید. دامنه تغییرات نویز در ناحیه

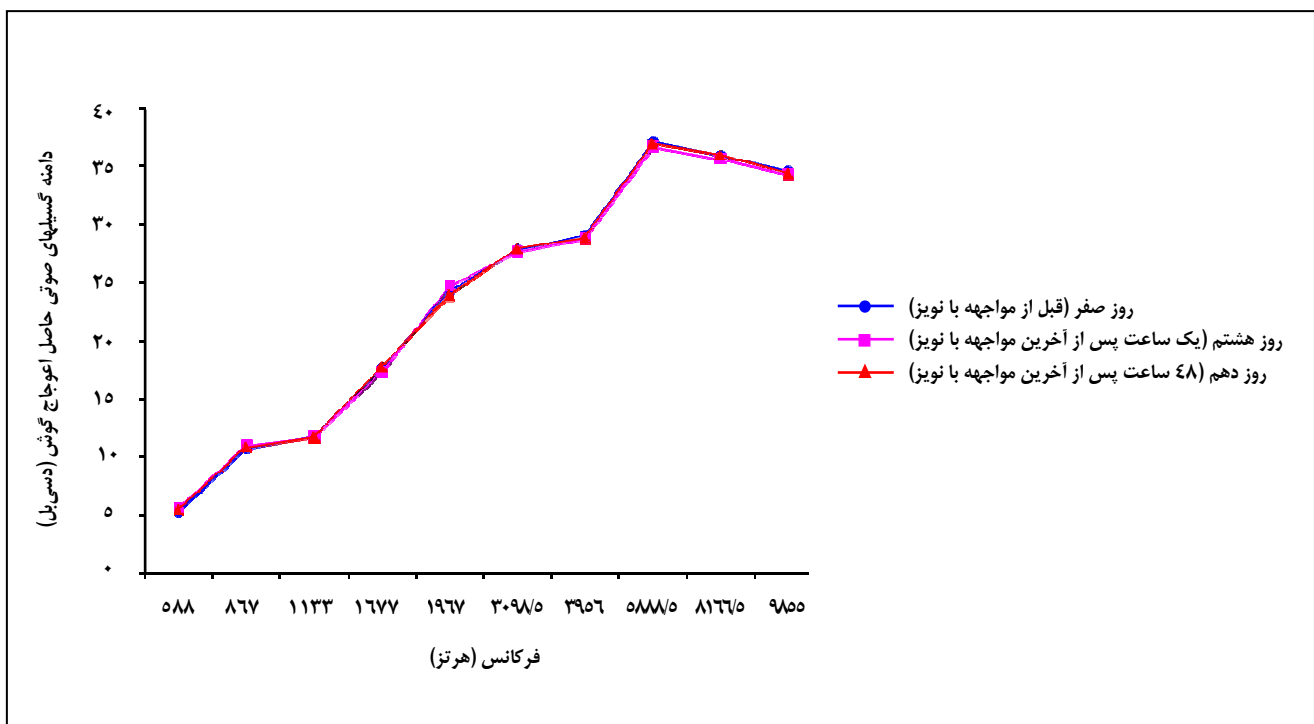
این مطالعه به روش تجربی در مدل حیوانی، روی خرگوش‌های نر سفید سالم بالغ (سه ماهه، نژاد نیوزیلندری به وزن  $2000$  گرم با انحراف معیار  $100$  گرم) در آزمایشگاه بهداشت حرفة‌ای دانشگاه تربیت مدرس انجام گرفت. خرگوش‌ها از انتستیتو پاستور ایران تأمین شدند و در حیوان‌خانه دانشگاه تربیت مدرس و مطابق با شرایط استاندارد توصیه شده (از نظر دما، غذا، نور و تهویه) نگهداری شدند و موارد مندرج در بیانیه هلسینکی درخصوص کار با حیوانات آزمایشگاهی در مورد آنان رعایت شد. خوراک خرگوش‌ها، که از شرکت خوراک دام پارس تهیه شد، فقط از کنسانتره پلیت حیوانات آزمایشگاهی و دارای ترکیبات پروتئین خام، فیبر خام، چربی خام، انرژی قابل متابولیسم، کلسیم، فسفر، نمک و رطوبت با درصدهای مشخص بود. خرگوش‌ها با توجه به هدف آزمایش به دو گروه تقسیم شدند: گروه شاهد، که هیچ‌گونه مواجهه‌ای با نویز نداشتند، و گروه مورد که در معرض نویز قرار داشتند. تعداد نمونه‌ها در هر گروه، براساس نتایج حاصل از آزمایش‌های پایلوت، شش رأس تعیین شد. در طول تحقیق سعی شد برای آسایش خرگوش‌ها و نیز جلوگیری از تأثیر عوامل مداخله‌گر، دمای محل در حد  $20-22$  درجه سانتی‌گراد، رطوبت نسبی در حدود  $30-70$  درصد و جایه‌جایی هوای محیط کار برابر  $2000$  بار جایه‌جایی در هر ساعت، و وزن خرگوش در حدود  $100$  گرم با انحراف معیار  $100$  گرم ثابت نگه داشته شود. اندازه فضای برای نگهداری هر خرگوش تا وزن دو کیلوگرم تقریباً  $14/0$  متر مربع بود. تمام مراحل آزمایش در فصل تابستان انجام شد، در نتیجه هیچ‌گونه تغییر فصلی در طول آزمایش وجود نداشت و تمام آزمایش‌های سنجش شنوایی بعد از ظهرها صورت پذیرفت. چنانچه در طی عملیات بیهوشی خرگوش‌ها برای آزمایش DPOAEs، دمای بدن خرگوش کاهش می‌یافتد، با استفاده از پتوی برقی دمای بدن خرگوش افزایش داده می‌شود و در صورت افزایش دمای بدن خرگوش با تهویه هوای محیط دمای بدن خرگوش کاهش داده می‌شود تا به حد مورد نظر و مطلوب برسد. مواجهه خرگوش‌ها با عوامل زیان‌آور، با محاسبه فضای مورد نیاز برای هر خرگوش و با توجه به حجم هوای تهویه‌ای و غیره، در



نمودار ۱- مقایسه روند تغییرات میانگین دامنه گسیلهای صوتی حاصل اعوجاج گوش در سه زمان مختلف در گروه مورد

صفر (قبل از شروع فرایند پروتکل مواجهه با نویز به عنوان مبنای کار)، سپس سه روز استراحت برای از بین رفتن استرس و عوامل مداخله‌ای دیگر و سازگاری حیوانات با شرایط محیطی موجود، سپس یک مواجهه ۴۰ ساعته (پنج روز و هر روز هشت ساعت)، یک ثبت DPOAEs در روز هشتم (یک ساعت پس از آخرین مواجهه با نویز)، و نیز DPOAEs نهایی در روز دهم ثبت شد. شایان ذکر است شرایط آزمون برای گروه مورد و شاهد یکسان به کار گرفته شد، با این تفاوت که تنها مواجهه با نویز وجود نداشت. داده‌های جمع‌آوری شده، با استفاده از نرم‌افزار آماری SPSS تجزیه و تحلیل شد، و رسم گراف‌ها با استفاده از نرم‌افزار Excel صورت گرفت. ابتدا برای تعیین هنجار بودن داده‌ها، از آزمون کولموگروف اسمیرنوف استفاده شد. سپس از آزمون آنالیز واریانس اندازه‌های تکرار شده یک طرفه برای مقایسه میانگین‌های DPOAEs در سه دوره زمانی مختلف در هر گروه، و از آزمون‌های تعقیبی نظریه تأیید اختلاف معنی‌داری توکی برای

شنوایی خرگوش‌ها کمتر از دو دسیبل بود. همچنین، میزان نویز زمینه در حیوان‌خانه و آزمایشگاه برای هر دو گروه (شاهد و مورد) کمتر از ۳۵ دسیبل بود. خرگوش‌ها با استفاده از روش تزریق مخلوط ۶۰ درصد کتامین و ۴۰ درصد زایلазین به ازای هر کیلوگرم وزن بدن بیهوش شده و پس از اتوسکپی در صورت وجود جرم در گوش قبیل از شروع آزمون جرم برطرف می‌گردید. برای هر خرگوش نر ثبت DPگرام در هر دو گوش با استفاده از تحلیلگر گسیلهای صوتی گوش مدل DPOAEs 4000 I/O ساخت شرکت HOMOTH کشور آلمان انجام گرفت. DPگرام‌ها با استفاده از دو محرک نویز خالص شامل:  $f_1-f_2$  با نسبت  $f_2/f_1 = 1/25$  و  $L_2=65 \text{ dB SPL}$  و  $L_1=75 \text{ dB SPL}$  در با سطح شدت نابرابر ( $L_2-L_1=10 \text{ dB}$ ) در محدوده فرکانسی ۵۰۰۰-۸۰۰۰ هرتز اندازه‌گیری شد. هم دامنه‌های DPOAEs و هم نسبت سیگنال به نویز در  $2f_1-f_2$  و  $f_2$  نقطه‌گذاری شدند. اندازه‌گیری و نسبت به میانگین هندسی  $f_1$  و  $f_2$  در مجموع برای گروه مورد، ابتدا یک ثبت DPOAEs در روز



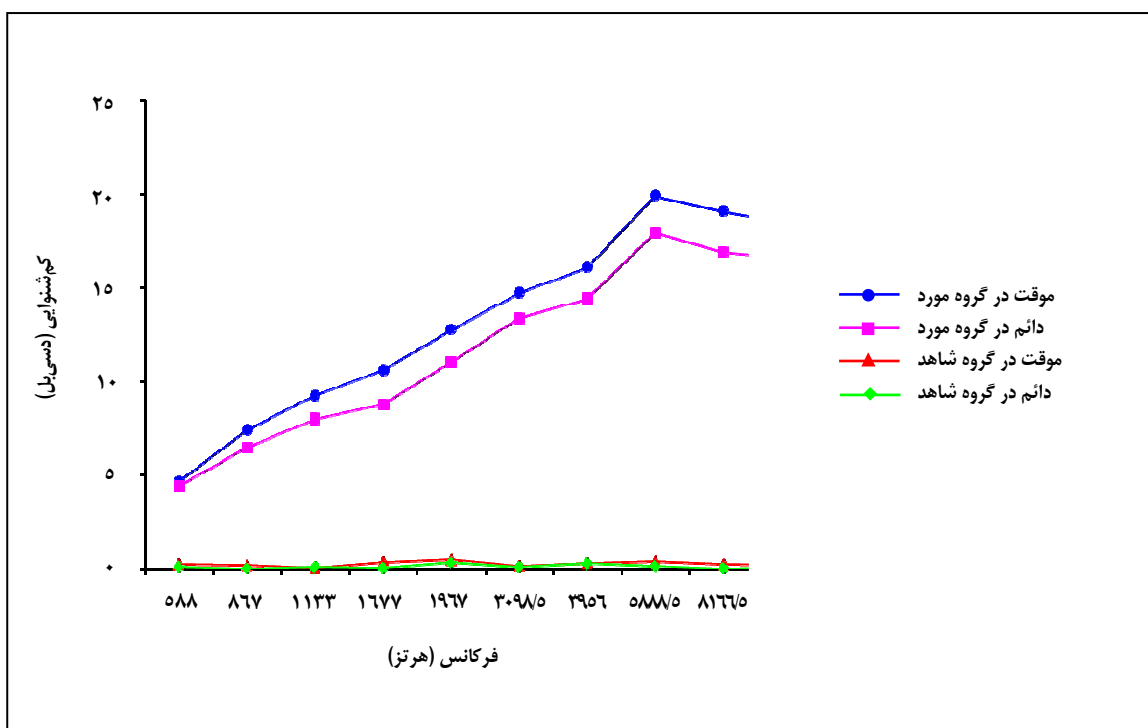
نمودار ۲- مقایسه روند تغییرات میانگین دامنه گسیل‌های صوتی حاصل اعوجاج گوش در سه زمان مختلف در گروه شاهد

بود. کمترین مقدار دامنه DPOAEs نیز مربوط به فرکانس ۵۸۸ هرتز (۰/۰ دسی‌بل) بود، و بیشترین مقدار دامنه DPOAEs در روز دهم، و مربوط به فرکانس ۵۸۸۸/۵ هرتز (۱۹/۲۸۵ دسی‌بل) بود و پس از آن در فرکانس‌های ۸۱۶۶/۵، ۹۸۵۵، ۳۹۵۶ و ۱۳/۵۸۵ ۳۰۹۸/۵ هرتز به ترتیب ۱۱/۵۵۵، ۱۷/۵۸، ۱۸/۵۵۵ و ۱۴/۸۲۵ دسی‌بل قرار داشت. کمترین مقدار دامنه DPOAEs نیز مربوط به فرکانس ۵۸۸ هرتز (۰/۹۸۵ دسی‌بل)، اختلاف معنی‌داری بین تغییرات میانگین مقادیر دامنه DPOAEs در سه زمان مختلف در گروه مورد وجود دارد ( $p=0/006$ ). ملاحظه شد که میانگین DPOAEs در فرکانس ۵۸۸۸/۵ هرتز در هریک از روزهای هشتم و دهم دارای اختلاف معنی‌داری با میانگین DPOAEs در سایر فرکانس‌ها در همان روز در گروه مورد مشاهده شد ( $p<0/05$ ). همچنین، هیچ‌گونه اختلاف معنی‌داری بین میانگین دامنه DPOAEs در گوش راست و چپ گروه مورد مشاهده نشد ( $p=0/073$ ).

یافتن میانگین دارای تفاوت معنی‌دار با سایر میانگین‌ها، از آزمون  $t$  مستقل برای مقایسه میانگین‌های کم‌شنوایی وقت یا دائم در دو گروه، و از آزمون  $t$  زوجی برای مقایسه میانگین‌های DPOAEs در گوش راست و چپ هر گروه و مقایسه میانگین کم‌شنوایی وقت و دائم در هر گروه استفاده شد. سطح معنی‌داری کلیه آزمون‌ها  $>0/05$  در نظر گرفته شد.

### یافته‌ها

پس از جمع‌آوری و آنالیز داده‌ها، یافته‌ها ثبت و نمودارها ترسیم شد. روند تغییرات میانگین مقادیر دامنه گسیل‌های صوتی حاصل اعوجاج گوش در سه زمان مختلف در گروه مورد در نمودار ۱ نشان داده شده است. بیشترین مقدار دامنه DPOAEs در روز هشتم، و مربوط به فرکانس ۵۸۸۸/۵ هرتز (۱۷/۳ دسی‌بل) بود و پس از آن در فرکانس‌های ۹۸۵۵، ۸۱۶۶/۵، ۳۹۵۶ و ۳۰۹۸/۵ هرتز به ترتیب ۱۶/۳۵۵، ۱۵/۷۰۵، ۱۳/۱۵۵ و ۱۲/۲۴۵ دسی‌بل



نمودار ۳- مقایسه روند تغییرات میانگین کم‌شنوایی موقت و دائم در گروه مورد و شاهد

میانگین دائم دامنه DPOAEs در گوش راست و چپ گروه شاهد دیده نشد ( $p=0.92$ ).

روند تغییرات میانگین کم‌شنوایی موقت و دائم در گروه در معرض نویز و گروه شاهد در نمودار ۳ نشان داده شده است. بیشترین مقدار کم‌شنوایی موقت در گروه در معرض نویز، مربوط به فرکانس ۵۸۸/۵ هرتز (۱۹ دسی‌بل) و پس از آن در فرکانس‌های ۸۱۶۶/۵، ۹۸۵۵، ۳۹۵۶ و ۳۰۹۸/۵ هرتز به ترتیب ۱۹/۱۲، ۱۸/۴۵۵، ۱۶/۱۱۵ و ۱۴/۷۳۵ دسی‌بل قرار داشت. کمترین مقدار کم‌شنوایی موقت نیز مربوط به فرکانس ۵۸۸ هرتز (۴/۶۶ دسی‌بل) بود. همچنین، بیشترین مقدار کم‌شنوایی دائم در گروه در معرض نویز، مربوط به فرکانس ۵۸۸/۵ هرتز (۱۷/۹۵ دسی‌بل) و پس از آن در فرکانس‌های ۸۱۶۶/۵، ۹۸۵۵، ۳۹۵۶ و ۳۰۹۸/۵ هرتز به ترتیب ۱۳/۳۹۵ دسی‌بل بود. کمترین مقدار کم‌شنوایی دائم مربوط به فرکانس ۵۸۸ هرتز (۴/۴۴ دسی‌بل) بود. اختلاف معنی‌داری بین میانگین

روند تغییرات میانگین مقادیر دائمه گسیل‌های صوتی حاصل اعوجاج گوش در سه زمان مختلف در گروه شاهد در نمودار ۲ ارائه شده است. بیشترین مقدار دائم دامنه DPOAEs در روز هشتم، مربوط به فرکانس ۵۸۸/۵ هرتز (۳۶/۶۵ دسی‌بل) و پس از آن در فرکانس‌های ۸۱۶۶/۵، ۹۸۵۵، ۳۹۵۶ و ۳۰۹۸/۵ هرتز به ترتیب ۳۵/۶۳۵، ۳۴/۲۸، ۲۸/۷۳ و ۲۷/۶۲ دسی‌بل قرار داشت. کمترین مقدار دائمه DPOAEs نیز مربوط به فرکانس ۵۸۸ هرتز (۵/۵۸ دسی‌بل) بود. بیشترین مقدار دائم دامنه DPOAEs در روز دهم، مربوط به فرکانس ۵۸۸/۵ هرتز (۳۶/۹۱ دسی‌بل) و پس از آن در فرکانس‌های ۸۱۶۶/۵، ۹۸۵۵، ۳۹۵۶ و ۳۰۹۸/۵ هرتز به ترتیب ۳۴/۳۶، ۳۵/۹۳ و ۲۷/۹ دسی‌بل قرار داشت. کمترین مقدار دائمه DPOAEs نیز مربوط به فرکانس ۵۸۸ هرتز (۵/۴۳ دسی‌بل) بود. اختلاف معنی‌داری بین تغییرات میانگین مقادیر دائمه DPOAEs در سه زمان مختلف در گروه شاهد وجود نداشت ( $p=0.71$ ). همچنین، هیچ‌گونه اختلاف معنی‌داری بین

کم‌شناوی موقت و دائم در گروه در معرض نویز وجود داشت( $p=0.011$ ). بیشترین مقدار کم‌شناوی موقت در گروه شاهد، مربوط به فرکانس ۱۹۶۷ هرتز ( $0.08$  دسی‌بل) بود. بیشترین مقدار کم‌شناوی دائم در گروه شاهد، مربوط به فرکانس ۱۹۶۷ هرتز ( $0.08$  دسی‌بل) و پس از آن در فرکانس‌های  $3956/5$  و  $5888/5$  و  $2011/0$  دسی‌بل) و پس از آن در فرکانس‌های  $3956/5$  و  $5888/5$  هرتز به ترتیب  $0.0855$  و  $0.0145$  دسی‌بل قرار داشت. محرك تُن خالص برابر با  $1/25$  استفاده شود( $-8\text{dB}$  و  $-12\text{dB}$ ). در مطالعه Soliman و همکاران ( $2003$ ) و نیز Brown و همکاران ( $1990$ ) روی خوکچه هندی نشان داده شده است که مواجهه با نویز منجر به بیشترین کاهش در دامنه DPOAEs در فرکانس  $2011$  هرتز به دلیل تأثیر گونه پستاندار مورد آزمایش و بهره‌گیری از نسبت  $f_2/f_1$  برابر با  $1/25$  و نیز کاهش در نسبت سیگنال به نویز همراه با آسیب بیشتری به سلول‌های مویی خارجی می‌شود( $-10\text{dB}$ ). در حالی که در مطالعه Martin و همکاران ( $1988$ ) روی میمون‌ها و Kim ( $1980$ ) روی گریه‌ها، استفاده از  $2f_1-f_2$  نسبت فرکانسی دو محرك تُن خالص برابر با  $1/22$  و نیز  $2f_1-f_2$  DPOAEs منتهی به بهترین پاسخ فرکانسی در محدوده مورد بررسی گردید( $-5\text{dB}$ ).

همان‌گونه که در مطالعه حاضر روی خرگوش ملاحظه شد بیشترین کاهش دامنه پاسخ فرکانسی DPOAEs در فرکانس Rees و Duckert ( $1994$ ) بیشترین کاهش دامنه پاسخ فرکانسی DPOAEs در مطالعات انسانی به فرکانس  $4000$  هرتز منتهی شده است( $-17\text{dB}$ ). مطالعات مختلف نشان داده‌اند که مواجهه کوتاه‌مدت با سطوح نویز آسیب‌رسان نه تنها بر دامنه پاسخ DPOAEs در فرکانس بالا تأثیر شدید خواهد گذاشت، بلکه تا اندازه‌ای بر DPOAEs فرکانس پایین نیز اثر خواهد گذاشت( $-18\text{dB}$ ). مطالعه حاضر نشان داد مواجهه با نویز شدید سبب کم‌شناوی موقت یا دائم، ابتدا در فرکانس‌های بالا به طور شدیدتر و سپس در فرکانس‌های پایین به طور جزئی تر می‌شود. در مطالعه Rees و Duckert ( $1994$ ) اشاره شده است که اولین اثرات در نواحی حدود  $4000$  هرتز، همراه با برگشت‌پذیری در فرکانس‌های بالاتر بروز می‌کند که با نتایج پژوهش حاضر همخوانی دارد. این امر باعث ایجاد یک فرورفتگی در DPگرام می‌شود که در

کم‌شناوی موقت و دائم در گروه در معرض نویز وجود داشت( $p=0.011$ ). بیشترین مقدار کم‌شناوی موقت در گروه شاهد، مربوط به فرکانس ۱۹۶۷ هرتز ( $0.08$  دسی‌بل) و پس از آن در فرکانس‌های  $5888/5$  و  $3956/5$  هرتز به ترتیب  $0.0855$  و  $0.0145$  دسی‌بل قرار داشت. بیشترین مقدار کم‌شناوی دائم نیز مربوط به فرکانس  $867$  هرتز ( $0.035$  دسی‌بل) بود. اختلاف معنی‌داری بین میانگین کم‌شناوی موقت در گروه مورد میانگین کم‌شناوی دائم مشاهده شد( $p=0.031$ ). بین اختلاف معنی‌داری دیده شد( $p=0.022$ ). از طرفی، اختلاف معنی‌داری بین میانگین کم‌شناوی موقت و دائم در گروه مورد وجود داشت( $p=0.015$ ). اما بین میانگین کم‌شناوی موقت و دائم در گروه شاهد اختلاف معنی‌داری وجود نداشت( $p=0.083$ ).

## بحث

همان‌طوری که در این مطالعه نشان داده شد، بیشترین کاهش در دامنه DPOAEs در گروه مورد در روزهای هشتم و دهم مربوط به فرکانس‌های  $5888/5$ ،  $3956/5$ ،  $9855/5$ ،  $8166/5$  و  $3098/5$  هرتز بود. به نظر می‌رسد نویز شدید ابتدا در فرکانس‌های بالا (نزدیک به  $6000$  هرتز) در خرگوش اثر کرده، سپس این کاهش دامنه به فرکانس‌های بالای  $6000$  هرتز، و پس از آن، به سمت فرکانس‌های پایین‌تر از  $6000$  هرتز گسترش یافت. بتایرانی می‌توان گفت مواجهه با نویز شدید سبب کاهش دامنه DPOAEs در فرکانس‌های بالا به طور عمده و در مطالعات پایین به طور جزئی، شده است. نتایج مشابهی در مطالعات Lonsbury-Martin و همکاران ( $1988$ ) روی خرگوش‌ها، Jimenez و همکاران روی موش، Harding و همکاران روی Chien-Chiela، Henley و همکاران ( $1990$ ) روی رَت، و نیز Kemp و Brown روی موش صحرازی گزارش شده است. در این مطالعات پیشنهاد شده است برای دستیابی به بهترین دامنه پاسخ فرکانسی و نیز تخمین دقیق‌تر کم‌شناوی ناشی از نویز، از  $2f_1-f_2$  و نیز نسبت  $2f_2-f_1$  DPOAEs به جای DPOAEs دو

مطالعات انسانی این است که در مطالعات حیوانی امکان مقایسه مستقیم تغییرات DPOAEs با تغییرات موجود در اندازه‌گیری‌های الکتروفیزیولوژیک عملکرد حلزون، و نیز مقایسه با هیستوپاتولوژی حلزون وجود دارد<sup>(۴)</sup>. در مطالعه Sutton و همکاران (۱۹۹۴) رابطه صد در صد و کاملاً مستقیمی بین کم‌شنوایی و تغییرات DPOAEs تعیین نشده است، و متأسفانه رابطه بین کم‌شنوایی و تغییرات DPOAEs چندان واضح نیست، و نیز رابطه معنی‌داری بین مقدار کاهش دامنه پاسخ فرکانسی DPOAEs و کم‌شنوایی ناشی از نویز در انسان‌ها مشاهده نشده است<sup>(۲۰)</sup>.

Huang و همکاران (۲۰۰۰)، معتقدند کم‌شنوایی ناشی از نویز یک پدیده چندعلتی است که در آن علاوه بر آسیب‌های مکانیکی، آسیب‌های متابولیک نیز دخیل‌اند که مهم‌ترین آنها استرس اکسیداتیو ناشی از تشکیل رادیکال‌های آزاد (گونه‌های اکسیژن واکنشی) در حلزون گوش داخلی و به هم خوردن تعادل یون کلسیم در سلول‌های مویی خارجی در حلزون است؛ به طوری که لیپید پرواکسیداسیون و تخریب پروتئین‌ها در جدار سلول‌های مویی خارجی در عضو کورتی نهایتاً منجر به مرگ سلول‌ها و ایجاد کم‌شنوایی می‌شود<sup>(۲۱)</sup>. از طرفی، تحقیقات Jacono و همکاران (۱۹۹۸) و نیز Kopke و همکاران (۲۰۰۷) نشان داده است که در حين تبدیل انرژی آکوستیکی به سیگنال‌های عصبی، حلزون تولید گونه‌های اکسیژن واکنشی به عنوان یک محصول سلولی هنجار می‌نماید<sup>(۲۲)</sup>. در این راستا، Kopke و همکاران (۲۰۰۷) معتقدند که تحت شرایط طبیعی، مکانیسم‌های دفاعی آنتی اکسیدانتی مختلف موجود در گوش داخلی، از رادیکال‌های صدمه‌زای ایجاد شده حاصل از هر عامل زیان‌آور دائمی پیشگیری می‌کند<sup>(۲۳)</sup>. طبق گزارش Jacono و همکاران (۱۹۹۸)، در مواجهه با نویز بسیار زیاد، تعادل الکتروولیت‌های بدن (Homeostase) به طور طبیعی به مدت زیادی حفظ نمی‌شود، و سلول‌ها ممکن است دستخوش آسیب غیرقابل جبرانی شوند که منجر به کم‌شنوایی دائم ناشی از نویز می‌شود<sup>(۲۲)</sup>. Kopke و همکاران (۲۰۰۷) بر این عقیده‌اند که با تقویت سیستم دفاعی آنتی اکسیدانتی موضعی در طی دوره‌های مواجهه با عامل استرس‌زای

DPOAEs گرام‌های پژوهش حاضر به‌وضوح دیده می‌شود. محل دقیق این فرورفتگی به عوامل زیادی بستگی دارد که براساس نظر Rees و Duckert (۱۹۹۴)، این عوامل شامل فرکانس نویز آسیب‌رسان، شکل مجرای گوش، و حساسیت حلزون گوش است. این فرورفتگی در تباين و تقابل با کم‌شنوایی ناشی از سن (پیرگوشی) می‌باشد، که آن نیز کم‌شنوایی فرکانس بالا، اما با یک الگوی با شبیه آرام و بدون برگشت‌پذیری در فرکانس ۸۰۰۰ هرتز ایجاد می‌کند. در مراحل اولیه کم‌شنوایی ناشی از نویز، میانگین آستانه‌های شنوایی در ۵۰۰، ۱۰۰۰، و ۲۰۰۰ هرتز بهتر از میانگین آستانه‌های شنوایی در ۳۰۰۰، ۴۰۰۰، و ۶۰۰۰ هرتز است، و سطح شنوایی در ۸۰۰۰ هرتز معمولاً بهتر از عمیق‌ترین بخش فرورفتگی است<sup>(۱۷)</sup>.

طبق اظهار Rabinowitz و Rees (۲۰۰۵) درگیری فرکانس‌های مکالمه‌ای و ایجاد کم‌شنوایی اجتماعی ناشی از نویز شدید در مراحل پیشرفته‌تر از مواجهه با نویز شدید رخ داده و فرکانس‌های زیر ۱۰۰۰ هرتز را نیز درگیر می‌کند. آنها بر این عقیده‌اند که میزان کاهش در دامنه پاسخ فرکانسی DPOAEs و نیز کم‌شنوایی موقت یا دائم به عوامل زیادی، از جمله سطح شدت نویز آسیب‌رسان، طول مدت مواجهه با نویز، و حساسیت‌پذیری فرد بستگی دارد. هر چه نویز شدیدتر باشد، احتمال بروز کم‌شنوایی نیز بیشتر خواهد بود<sup>(۱۸)</sup>.

طبق مطالعه Vassilakis و همکاران (۲۰۰۴)، از یک طرف باید در نظر داشت که مقادیر دائمی DPOAEs در خرگوش‌ها و جوندگان، بسیار بیشتر از انسان‌ها یا میمون‌ها بوده و نیز شکل دائمی پاسخ عملکردی DPOAEs در خرگوش‌ها و جوندگان اندکی با انسان متفاوت است. از طرفی دیگر، دائمی DPOAEs برای حیوانات ماده در مقایسه با حیوانات نر اندکی بیشتر است<sup>(۱۹)</sup>. تغییرات در دائمی پاسخ‌های عملکردی خرگوش در آزمایش DPOAEs را نیز نمی‌توان به طور مستقیم به انسان تعمیم داد، ولی می‌توان احتمال اثر تقریبی در انسان را مطابق با نتایج حاصل پیش‌بینی کرد. البته براساس نظر Martin و همکاران (۱۹۸۸)، مزیت منحصر به فرد مطالعات حیوانی نسبت به

حساسیت و استعداد بینتری برخوردارند(۱). براساس این مطالعات یک مجموعه عوامل غیرشغلی می‌توانند سبب ایجاد کم‌شنوایی شوند که بایستی در نظر گرفته شوند نظیر: وارد آمدن ضربه به سر، اختلالات گوش داخلی در غواصان و غیره، مواد شیمیایی شامل نوروتوکسین‌ها (نظیر حلال‌های آلی، تولوئن و استبرین)، فلزات نوروتوکسیک (سرپ، متیل جیوه، آرسنیک)، کربن مونوکسید، و آنتی بیوتیک‌ها. براساس این مطالعات، DPOAEs آزمونی معتبر برای شناسایی و ردیابی افراد مستعد به بروز کم‌شنوایی ناشی از نویز است(۱).

### نتیجه‌گیری

این تحقیق نشان داد تغییرات دامنه DPOAEs ناشی از مواجهه با نویز، ابتدا در فرکانس‌های بالا و سپس در فرکانس‌های میانه رخ می‌دهد. مواجهه با نویز شدید می‌تواند سبب کاهش در دامنه DPOAEs و نیز بروز افت شنوایی موقت یا دائم در خرگوش شود. بنابراین، با در نظر گرفتن نسبت  $f_2/f_1 = 1/25$  برای خرگوش‌ها، استفاده از آزمون DPOAEs  $2f_1-f_2$ ، ارائه دو محرك تُن خالص نابرابر با شدت متوسط، و نیز رعایت حداقل نسبت سیگنال به نویز برابر با شش دسی‌بل، می‌توان گفت DPOAEs آزمونی معتبر برای ردیابی و شناسایی استعداد به کم‌شنوایی ناشی از نویز در خرگوش است.

### سپاسگزاری

مقاله حاضر حاصل پایان‌نامه مقطع دکترای بهداشت حرفه‌ای دانشکده پژوهشی دانشگاه تربیت مدرس بوده و با حمایت مالی دانشگاه مزبور صورت گرفته است. از این رو جا دارد از زحمات جانب آقای دکتر یعقوب فتح‌الهی، و نیز سرکار خانم دکتر فرزانه صباحی، تشکر و قدردانی به عمل آید.

## REFERENCES

1. Manley GA, Fay RR, Popper AN. Active processes and otoacoustic emissions in hearing. 1<sup>st</sup> ed. New York: Springer Science &

نویز، تغییر آستانه دائم شنوایی ممکن است پیشگیری شده یا کاهش یابد(۲۳). آنها بیان می‌کنند که سطح رادیکال‌های آزاد گونه‌های اکسیژن واکنشی در حلزون گوش حیواناتی که در معرض نویز شدید قرار دارند، در مقایسه با حیواناتی که هیچ گونه مواجهه‌ای با نویز نداشته‌اند، به‌طور معنی‌داری افزایش می‌یابد. بنابراین می‌توان اثر نویز بر کاهش پاسخ‌های فرکانسی در DPOAEs ناشی از نویز در این تحقیق را به نقش این عامل استرس‌زا در افزایش استرس اکسیداتیو در حلزون گوش حیوانات نسبت داد که این مسئله خود صحه‌ای بر اثبات فرضیه‌هایی است که نقش استرس اکسیداتیو بر کم‌شنوایی ناشی از نویز را مطرح می‌کنند. از این‌رو، با توجه به فرضیات مختلف درباره اثر پیشگیری‌کننده به کارگیری آنتی‌اکسیدان‌های مختلف از کم‌شنوایی ناشی از نویز بهره‌گیری از این آنتی‌اکسیدان‌ها توصیه می‌شود(۲۳).

در تحقیقات قبلی انجام شده توسط Soliman و همکاران (۲۰۰۳) روی خوکچه هندی، ارتباط نسبتاً زیادی بین کم‌شنوایی ناشی از نویز و کاهش سلول‌های مویی خارجی در سرتاسر حلزون مشاهده شد. بنابراین می‌توان اثر نویز بر کاهش پاسخ‌های فرکانسی DPOAEs در این تحقیق را به نقش این عامل استرس‌زا در کاهش سلول‌های مویی نیز نسبت داد(۱۰).

در این مطالعه مشاهده شد که کاهش پاسخ‌های فرکانسی در DPOAEs ناشی از نویز در هر دو گوش راست و چپ متقاضان است که با اظهارات Rees و Duckert (۱۹۹۴) در خصوص ویژگی‌های کم‌شنوایی ناشی از نویز مطابقت دارد. هنگامی که یک گوش، نسبت به گوش دیگر، در مواجهه با نویز شدیدتری قرار گیرد، DP گرام ممکن است نامتقارن باشد(۱۷).

مطالعات گوناگون نشان داده است که برخی از افراد، در مقایسه با افراد دیگر، نسبت به بروز کم‌شنوایی ناشی از نویز از

Business Media LLC; 2008.

2. Nagy AL, Toth F, Vajtai R, Gingl Z, Jori J, Kiss JG. Effects of noise on the intensity of

- distortion-product otoacoustic emissions. *Int Tinnitus J.* 2002;8(2):94-6.
3. Kiss JG, Toth F, Rovó L, Venczel K, Drexler D, Jóri J, et al. Distortion-product otoacoustic emissions(DPOAE) following pure tone and wide-band exposures. *Scand Audiol Suppl.* 2001;30(52):138-40.
  4. Martin GK, Lonsbury-Martin BL, Probst R, Coats AC. Spontaneous otoacoustic emissions in a nonhuman primate. I. Basic features and relations to other emissions. *Hear Res.* 1988;33(1):49-68.
  5. Kim DO. Cochlear mechanics: implications of electrophysiological and acoustical observations. *Hear Res.* 1980;2(3-4):297-317.
  6. Lonsbury-Martin BL, Martin GK, Probst R, Coats AC. Spontaneous otoacoustic emissions in a nonhuman primate: II. Cochlear anatomy. *Hear Res.* 1988;33(1):69-93.
  7. Jimenez AM, Stagner BB, Martin GK, Lonsbury-Martin BL. Age-related loss of distortion-product otoacoustic emissions in four mouse strains. *Hear Res.* 1999;138(1-2):91-105.
  8. Harding GW, Bohn BA, Ahmad M. DPOAE level shifts and ABR threshold shifts compared to detailed analysis of histopathological damage from noise. *Hear Res.* 2002;174(1-2):158-71.
  9. Brown AM, Woodward S, Gaskill SA. Frequency variations in spontaneous sound emissions from guinea pig and human ears. *Eur Arch Otorhinolaryngol.* 1990;247(1):24-8.
  10. Soliman S, El-Atreby M, Tawfik S, Holail E, Iskandar N, Abou-Setta A. The interaction of whole body vibration and noise on the cochlea. *International Congress Series.* 2003;1240:209-16.
  11. Henley CM, Owings MH, Stagner BB, Martin GK, Lonsbury-Martin BL. Postnatal development of  $2f_1-f_2$  otoacoustic emissions in pigmented rat. *Hear Res.* 1990;43(2):141-48.
  12. Kemp DT, Brown AM. Ear canal acoustic and round window correlates of  $2f_1-f_2$  distortion generated in the cochlea. *Hear Res.* 1984;13(1):39-46.
  13. Whitehead ML, Lonsbury-Martin BL, Martin GK. Evidence for two discrete sources of  $2f_1-f_2$  distortion-product otoacoustic emission in rabbit: I. Differential dependence on stimulus parameters. *J Acoust Soc Am.* 1992;91(3):1587-607.
  14. Harris FP, Lonsbury-Martin BL, Stagner BB, Coats AC, Martin GK. Acoustic distortion products in humans: systematic changes in amplitude as a function of  $f_2/f_1$  ratio. *J Acoust Soc Am.* 1989;85(1):220-9.
  15. Brown AM. Acoustic distortion from rodent ears: a comparison of responses from rats, guinea pigs and gerbils. *Hear Res.* 1987;31(1):25-37.
  16. Martin GK, Lonsbury-Martin BL, Probst R, Scheinin SA, Coats AC. Acoustic distortion products in rabbit ear canal. II. Sites of origin revealed by suppression and pure-tone exposures. *Hear Res.* 1987;28(2-3):191-208.
  17. Rees T, Duckert L. Hearing loss and other otic disorders. In: Rosenstock L, Cullen MR, editors. *Textbook of clinical occupational and environmental medicine.* 1<sup>st</sup> ed. Toronto: WB Saunders; 1994. p. 117-23.
  18. Rabinowitz PM, Rees TS. Occupational Hearing Loss. In: Rosenstock L, Cullen MR, Brodkin CA, Redlich CA eds. *Textbook of clinical occupational and environmental medicine.* 2<sup>nd</sup> Edition, Elsevier's Health Sciences Rights Department Publishers: Philadelphia, USA; 2005. p. 423-33.
  19. Vassilakis PN, Meenderink SWF, Narins PM. Distortion product otoacoustic emissions provide clues to hearing mechanisms in the frog. *J Acoust Soc Am.* 2004;116(6):3713-26.
  20. Sutton LA, Lonsbury-Martin B.L, Martin GK, Whitehead ML. Sensitivity of distortion-

- product otoacoustic emissions in humans to tonal over-exposure: time course of recovery and effects of lowering L<sub>2</sub>. *Hear Res.* 1994;75(1-2):161-74.
21. Huang T, Cheng AG, Stupak H, Liu W, Kim A, Staeker H, et al. Oxidative stress-induced apoptosis of cochlear sensory cells: otoprotective strategies. *Int J Dev Neurosci.* 2000;18(2-3):259-70.
22. Jacono AA, Hu B, Kopke RD, Henderson D, Van De Water TR, Steinman HM. Changes in cochlear antioxidant enzyme activity after sound conditioning and noise exposure in the chinchilla. *Hear Res.* 1998;117(1-2):31-8.
23. Kopke RD, Jackson RL, Coleman JK, Liu J, Bielefeld EC, Balough BJ. NAC for noise: From the bench top to the clinic. *Hear Res.* 2007;226(1-2):114-25.